## Spektralsequenzen und der Satz von Serre

Tim Baumann

Geboren am 15. Juni 1994 in Friedberg 22. Juni 2015

Bachelorarbeit Mathematik

Betreuer: Prof. Dr. Bernhard Hanke

Zweitgutachter: Prof. Dr. X Y

Institut für Mathematik

MATHEMATISCH-NATURWISSENSCHAFTLICH-TECHNISCHE FAKULTÄT
UNIVERSITÄT AUGSBURG

## 1 Spektralsequenzen

## 1.1 Faserungen

**Definition.** Eine Serre-Faserung ist eine stetige Abbildung  $p: E \to B$ , welche die Homotopieliftungseigenschaft (HLE) für die Scheiben  $D^n$  besitzt, d. h. für alle  $n \ge 0$  und für alle stetigen Abbildungen H,  $H_0$  wie unten, sodass das äußere Quadrat kommutiert, gibt es eine stetige Abbildung  $\tilde{H}$ , sodass die beiden Dreiecke kommutieren:

$$D^{n} \xrightarrow{H_{0}} E$$

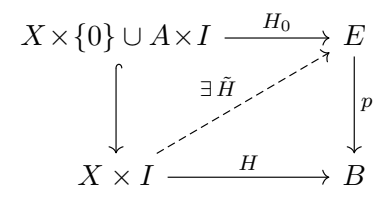
$$\downarrow^{i_{0}} \qquad \exists \tilde{H} \qquad \downarrow^{p}$$

$$D^{n} \times I \xrightarrow{H} B$$

Dabei ist  $i_0$  die Inklusion von  $D^n$  in  $D^n \times I$  als  $D^n \times \{0\}$ . Eindeutigkeit von  $\tilde{H}$  wird nicht gefordert.

**Lemma.** Es sei  $p: E \to B$  eine stetige Abbildung. Dann sind äquivalent:

- a) p ist eine Serre-Faserung
- b) p besitzt die relative Homotopieliftungseigenschaft für CW-Paare, d. h. für alle CW-Paare (X, A) und für alle  $H_0$  und H wie unten, sodass das äußere Quadrat kommutiert, gibt eine stetige Abbildung  $\tilde{H}$ , sodass die beiden Dreiecke kommutieren:



Beweis. "b)  $\implies$  a)" Folgt sofort mit  $(X, A) := (D^n, \emptyset)$ .

"a)  $\Longrightarrow$  b)" Wir behandeln zunächst den Fall  $(X,A)=(D^n,S^{n-1}),\ n\in\mathbb{N}$ . Dann ist  $(D^n\times I,D^n\times\{0\}\cup S^{n-1}\cup I)\approx(D^n)$  homöomorph als Raumpaar. Somit ist die relative Homotopieliftungseigenschaft in diesem Fall gleichbedeutend zur Homotopieliftungseigenschaft für die Scheibe  $D^n$ .

Es sei nun (X,A) ein beliebiges Raumpaar. Dann kann man induktiv die Homotopie H auf die i-Zellen  $e^i_\alpha$  von  $X\setminus A$  fortsetzen. Dabei ist die Homotopie auf  $S^{n-1}=\partial D^n$  durch die Komposition der bisher konstruierten Homotopie mit der anheftenden Abbildung  $\phi_\alpha:S^{n-1}\to X^{n-1}$  vorgegeben. Man erhält die Fortsetzung durch Anwenden des zuerst bewiesenen Falls.  $\square$ 

**Lemma.** Es seien  $p: E \to B$  eine Serre-Faserung,  $b_0 \in B$ ,  $F := p^{-1}(b_0)$  die Faser über  $b_0$  und  $f_0 \in F$ . Dann gibt es eine lange exakte Sequenz

$$\ldots \to \pi_n(F, f_0) \xrightarrow{i_*} \pi_n(E, f_0) \xrightarrow{p_*} \pi_n(B, b_0) \xrightarrow{\partial} \pi_{n-1}(F, f_0) \to \ldots \to \pi_1(B, b_0)$$

von Homotopiegruppen. Dabei ist  $i: F \hookrightarrow E$  die Inklusion.

Beweis. Die gesuchte exakte Sequenz ist die lange exakte Homotopiesequenz

$$\dots \to \pi_n(F, f_0) \xrightarrow{i_*} \pi_n(E, f_0) \to \pi_n(E, F, f_0) \xrightarrow{\partial} \pi_{n-1}(F, f_0) \to \dots \to \pi_1(E, F, f_0)$$

des Raumpaares (E, F). Es bleibt zu zeigen:  $\pi_n(E, F, f_0) \cong \pi_n(B, b_0)$  als Gruppe für n > 1 und als punktierte Menge für n = 1. Der Isomorphismus muss außerdem so gewählt werden, dass

$$p_* = \left(\pi_n(E, f_0) \to \pi_n(E, F, f_0) \xrightarrow{\cong} \pi_n(B, b_0)\right).$$

Wir zeigen:  $p_*: \pi_n(E, F, f_0) \to \pi_n(B, b_0)$  ist der gesuchte Isomorphismus (damit ist obige Gleichung erfüllt).

Surjektivität: Sei  $[g:(I^{n+1},\partial I^{n+1},b_0)\to (B,\{b_0\},b_0)]\in \pi_{n+1}(B,b_0),\ n\geq 0.$  Sei  $\tilde{g}$  der Lift im folgenden relativen HLE-Diagramm:

$$U \xrightarrow{\text{konst } f_0} E$$

$$\downarrow \qquad \qquad \downarrow p$$

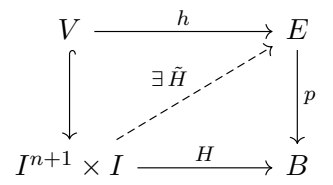
$$I^n \times I \xrightarrow{g} B$$

wobei  $U := I^n \times \{0\} \cup (\partial I^n) \times I \subset I^{n+1}$ . Dann kann man  $\tilde{g}$  als eine Abbildung  $(I^{n+1}, \partial I^{n+1}, U) \to (E, F, \{f_0\})$  von Raumtripeln auffassen, welche ein Element von  $\pi_{n+1}(E, F, f_0)$  repräsentiert. Es gilt  $p_*[\tilde{g}] = [p \circ \tilde{g}] = [g]$ .

Injektivität: Seien  $[h_0], [h_1] \in \pi_{n+1}(E, F, f_0)$  mit  $p_*[h_0] = p_*[h_1]$ . Sei

$$H: I \times I^{n+1}, \quad (t, x) \mapsto H_t(x)$$

eine Homotopie mit  $H_0 = p \circ h_0$ ,  $H_1 = p \circ h_1$ , welche zu jedem Zeitpunkt  $t \in I$  eine Abbildung  $H_t : (I^{n+1}, \partial I^{n+1}) \to (B, \{b_0\})$  von Raumpaaren ist. Betrachte folgendes HLE-Diagramm:



mit  $V := I^{n+1} \times \{0\} \cup (\partial I^{n+1}) \times I \subset I^{n+2}$  und

$$h|_{\{0\}\times I^{n+1}} \coloneqq h_0, \quad h|_{\{1\}\times I^{n+1}} \coloneqq h_1, \quad h|_{I\times U} \coloneqq \text{konst } f_0.$$

Nun ist  $\tilde{H}$  eine Homotopie von  $h_0$  nach  $h_1$ , welche zu jedem Zeitpunkt t eine Abbildung  $\tilde{H}_t$ :  $(I^{n+1}, \partial I^{n+1}, U) \to (E, F, \{b_0\})$  von Raumtripeln ist.

**Definition.** Es seien  $p: E \to B$  und  $g: X \to B$  stetig. Der Pullback von p entlang g ist die Abbildung  $g^*(p): g^*(E) \to X$ , wobei  $g^*(E) \coloneqq X \times_B E$  das Faserprodukt von X und E über B vermöge g und p ist.

Bemerkung. Pullback ist funktoriell:  $(g \circ f)^* = f^* \circ g^*$  und  $id^* = id$ .

Lemma. Pullbacks von Serre-Faserungen sind Serre-Faserungen.

Beweis. Sei  $p:E\to B$  eine Serre-Faserung und  $g:X\to B$  stetig. Wir müssen die Existenz des Morphismus  $\tilde{H}$  im folgenden Diagramm zeigen:

$$D^{n} \xrightarrow{H_{0}} g^{*}(E) \xrightarrow{h} E$$

$$\downarrow i_{0} \qquad \downarrow f \qquad \downarrow g^{*}(p) \qquad \downarrow p$$

$$D^{n} \times I \xrightarrow{H} X \xrightarrow{g} B$$

Aus der HLE von p erhält wie folgt einen Morphismus K:

$$D^{n} \xrightarrow{H_{0}} X \times_{B} E \xrightarrow{h} E$$

$$\downarrow i_{0} \downarrow K$$

$$D^{n} \times I \xrightarrow{H} X \xrightarrow{g} B$$

Nun ist  $D^n \times I$  vermöge H und K ein Kegel über dem Diagramm ( $X \xrightarrow{g} B \xleftarrow{p} E$ ). Die universelle Eigenschaft von  $g^*(E)$  induziert einen Morphismus  $\tilde{H}: D^n \times I \to X \times_B E$  mit  $g^*(p) \circ \tilde{H} = H$  und  $h \circ \tilde{H} = K$ . Aus der univ. Eigenschaft von  $g^*(E)$  (Eindeutigkeit) folgt nun  $\tilde{H} \circ i_0 = H_0$ .  $\square$ 

**Definition.** Ein Morphismus  $(g, \tilde{g}): p' \to p$  von Serre-Faserungen  $p': E' \to B'$  und  $p: E \to B$  ist ein kommutatives Quadrat der Form

$$E' \xrightarrow{\tilde{g}} E$$

$$\downarrow^{p'} \qquad \downarrow^{p}$$

$$B' \xrightarrow{g} B$$

**Beispiel.** Pullback einer Serre-Faserung p entlang einer stetigen Abbildung g induziert einen Morphismus  $(g, \tilde{g}) : g^*(p) \to p$  von Serre-Faserungen.

**Lemma.** Die langen exakten Sequenzen der Homotopiegruppen von Faserungen sind natürlich: Es sei  $(g, \tilde{g}): p' \to p$  ein Morphismus von Serre-Faserungen  $p': E' \to B'$  und  $p: E \to B$ ,  $b'_0 \in B'$ ,  $b_0 \coloneqq g(b'_0)$ ,  $F' \coloneqq p'^{-1}(b'_0)$ ,  $F \coloneqq p^{-1}(b_0)$ ,  $f'_0 \in F'$ ,  $f_0 \coloneqq \tilde{g}(f'_0)$ . Dann gibt es eine "Leiter" bestehend aus kommutativen Quadraten zwischen den Homotopiesequenzen:

$$\dots \longrightarrow \pi_n(F', f'_0) \xrightarrow{i'_*} \pi_n(E', f'_0) \xrightarrow{p'_*} \pi_n(B', b'_0) \xrightarrow{\partial} \pi_{n-1}(F', f'_0) \longrightarrow \dots$$

$$\downarrow^{(\tilde{g}|_{F'})_*} \qquad \downarrow^{\tilde{g}_*} \qquad \downarrow^{g_*} \qquad \downarrow^{(\tilde{g}|_{F'})_*}$$

$$\dots \longrightarrow \pi_n(F, f_0) \xrightarrow{i_*} \pi_n(E, f_0) \xrightarrow{p_*} \pi_n(B, b_0) \xrightarrow{\partial} \pi_{n-1}(F, f_0) \longrightarrow \dots$$

Beweis. Folgt aus der Natürlichkeit der langen exakten Homotopiesequenz von Raumpaaren.  $\Box$ 

Es sei  $p:E\to B$ eine Serre-Faserung,  $\gamma:I\to B$ ein stetiger Weg. Betrachte die lange exakte Sequenz

$$\dots \to \pi_n(F_{\gamma(0)}) \to \pi_n(\gamma^*(E)) \to \pi_n(I) \to \pi_{n-1}(F_{\gamma(0)}) \to \dots$$

der Homotopiegruppen von  $\gamma^*(p): \gamma^*(E) \to I$  mit Faser

$$F_{\gamma(t)} \coloneqq \gamma^*(p)^{-1}(t) \subset \gamma^*(E) = \{(t,e) \in I \times E \,|\, \gamma(t) = p(e)\}.$$

In dieser Sequenz sind die Gruppen  $\pi_n(I)$  trivial. Folglich sind die Abbildungen  $(i_{\gamma(t)})_*: \pi_n(F_{\gamma(t)}, *) \to \pi_n(\gamma^*(E), *)$  Isomorphismen. In anderen Worten:  $i_{\gamma(t)}$  ist eine schwache Äquivalenz. Aus einem Korollar des Whitehead-Theorems folgt nun, dass  $i_t$  auch in Homologie und Kohomologie Isomorphismen induziert (vgl. Spanier, AT, S. 406, Cor 7.6.25). Wir untersuchen den Isomorphismus

$$T_{\gamma} := (i_{\gamma(1)})^* \circ ((i_{\gamma(0)})^*)^{-1} : H^*(F_{\gamma(0)}) \xrightarrow{\cong} H^*(F_{\gamma(1)}).$$

**Lemma.**  $T_{\gamma}$  hängt lediglich von der Weghomotopieklasse von  $\gamma$  ab, d. h. ist  $\eta$  ein zweiter Weg mit  $\gamma \simeq \eta$ , so gilt  $T_{\gamma} = T_{\eta}$ .

Beweis. Sei  $H: I \times I \to B$  eine Homotopie zw. den Wegen  $\gamma$  und  $\eta$ , d.h.  $H_0 \coloneqq H(0,-) = \gamma$ ,  $H_1 = \eta$ ,  $H(-,0) \equiv x$  und  $H(-,1) \equiv y$  mit  $x \coloneqq \gamma(0) = \eta(0)$  und  $y \coloneqq \gamma(1) = \eta(1)$ . Für festes  $s \in I$  sei  $i_s: I \to I \times I$ ,  $t \mapsto (s,t)$  die Inklusion als  $\{s\} \times I$ . Betrachte das kommutative Diagramm

$$H_{s}^{*}(E) \stackrel{\widetilde{i_{s}}}{\longleftarrow} H^{*}(E) \stackrel{F}{\longrightarrow} E$$

$$H_{s}^{*}(p) \downarrow \qquad \qquad \downarrow p$$

$$I \stackrel{i_{s}}{\longleftarrow} I \times I \stackrel{H}{\longrightarrow} B$$

$$H_{s}$$

Sei  $t \in I$  fest. Sei  $F_{s,t} := (H_s^*(p))^{-1}(t) = (H^*(p))^{-1}((s,t))$  und  $f_0 \in F$ . Das linke komm. Diagramm induziert einen Morphismus zw. den langen ex. Homotopieseq. von  $H_t^*(p)$  und  $H^*(p)$ :

$$\dots \longrightarrow \pi_{n+1}(I,t) \xrightarrow{\partial} \pi_n(F_{s,t},f_0) \xrightarrow{(i'_{s,t})^*} \pi_n(H_s^*(E),f_0) \xrightarrow{H_s^*(p)_*} \pi_n(I,t) \longrightarrow \dots$$

$$\downarrow^{i_{s*}} \qquad \qquad \downarrow \qquad \downarrow^{(\widetilde{i_s})_*} \qquad \downarrow^{i_{s*}} \qquad \downarrow^{i_{s*}}$$

$$\dots \longrightarrow \pi_{n+1}(I \times I,(s,t)) \xrightarrow{\partial} \pi_n(F_{s,t},f_0) \xrightarrow{(i_{s,t})_*} \pi_n(H^*(E),f_0) \xrightarrow{H^*(p)_*} \pi_n(I \times I,(s,t)) \longrightarrow \dots$$

In diesen Sequenzen verschwinden die Gruppen  $\pi_n(I,t)$  bzw.  $\pi_n(I \times I,(s,t))$ . Folglich induzieren die Abbildungen  $\widetilde{i_s}$  Isomorphismen in Homotopie und in Kohomologie. Es gilt nun

$$\begin{split} T_{\gamma} &= (i'_{0,1})^* \circ ((i'_{0,0})^*)^{-1} = (i'_{0,1})^* \circ (\widetilde{i_0})^* \circ (\widetilde{i_0})^{-1} \circ ((i'_{0,0})^*)^{-1} \\ &= (i_{0,1})^* \circ ((i_{0,0})^*)^{-1} \stackrel{(\star)}{=} (i_{1,1})^* \circ ((i_{1,0})^*)^{-1} \\ &= (i'_{1,1})^* \circ (\widetilde{i_1})^* \circ (\widetilde{i_1})^{-1} \circ ((i'_{1,0})^*)^{-1} = (i'_{1,1})^* \circ ((i'_{1,0})^*)^{-1} = T_{\eta}. \end{split}$$

Die Gleichung (\*) gilt wegen  $i_{0,1} \simeq i_{1,1}$  und  $i_{0,0} \simeq i_{1,0}$ .

Mit ganz ähnlicher Technik kann man zeigen:

**Lemma.** Seien  $\gamma, \eta: I \to B$  stetige Wege mit  $\gamma(1) = \eta(0)$ . Dann gilt

$$T_{\eta} \circ T_{\gamma} = T_{\gamma,\eta} : H^*(F_{\gamma(0)}) \xrightarrow{\cong} H^*(F_{\eta(1)}).$$

Dabei ist die Komposition von  $\gamma$  und  $\eta$  folgender Weg:

$$\gamma \cdot \eta : I \to B, \quad s \mapsto \begin{cases} \gamma(2s), & \text{falls } s \in [0, \frac{1}{2}], \\ \eta(2s-1), & \text{falls } s \in [\frac{1}{2}, 1]. \end{cases}$$

Beweis. Betrachte folgendes kommutatives Diagramm:

$$\gamma^{*}(E) \xrightarrow{\tilde{j}} (\gamma \cdot \eta)^{*}(E) \longrightarrow E$$

$$\gamma^{*}(p) \downarrow \qquad (\gamma \cdot \eta)^{*}(p) \downarrow \qquad \qquad \downarrow p$$

$$I \xrightarrow{j} I \xrightarrow{\gamma \cdot \eta} B$$

Dabei ist  $j:I\to I$  die Abbildung  $s\mapsto s/2$ . Analog zum letzten Lemma sieht man anhand des Leiterdiagramms der langen exakten Sequenzen der Faserungen  $\gamma^*(p)$  und  $(\gamma \cdot \eta)^*(p)$ , dass  $\widetilde{j}$  einen Isomorphismus in Homotopie und Kohomologie induziert. Es gibt ein ähnliches Diagramm mit  $\eta$  statt  $\gamma$  und  $k:I\to I,\ s\mapsto (1+s)/2$  statt j. Es induziert auch  $\widetilde{k}$  einen Isomorphismus in Kohomologie. Es gilt nun

$$T_{\eta} \circ T_{\gamma} = (i_{\eta(1)})^{*} \circ ((i_{\eta(0)})^{*})^{-1} \circ (i_{\gamma(1)})^{*} \circ ((i_{\gamma(0)})^{*})^{-1}$$

$$= (i_{\eta(1)})^{*} \circ \tilde{k}^{*} \circ (\tilde{k}^{*})^{-1} \circ ((i_{\eta(0)})^{*})^{-1} \circ (i_{\gamma(1)})^{*} \circ \tilde{j}^{*} \circ (\tilde{j}^{*})^{-1} \circ ((i_{\gamma(0)})^{*})^{-1}$$

$$= (\tilde{k} \circ i_{\eta(1)})^{*} \circ ((\tilde{k} \circ i_{\eta(0)})^{*})^{-1} \circ (\tilde{j} \circ i_{\gamma(1)})^{*} \circ ((\tilde{j} \circ i_{\gamma(0)})^{*})^{-1}$$

$$= (i_{\gamma.\eta(1)})^{*} \circ ((i_{\gamma.\eta(1/2)})^{*})^{-1} \circ (i_{\gamma.\eta(1/2)})^{*} \circ ((i_{\gamma.\eta(0)})^{*})^{-1}$$

$$= (i_{\gamma.\eta(1)})^{*} \circ ((i_{\gamma.\eta(0)})^{*})^{-1} = T_{\gamma.\eta}.$$

Sei im Folgenden B wegzusammenhängend. Wir haben gezeigt, dass dann alle Fasern diesselbe Kohomologiegruppen besitzen. Wir können also von der Kohomologie der Faser F sprechen, wobei  $F := p^{-1}(b_0)$  für ein beliebiges  $b_0 \in B$ . Die Fundamentalgruppe  $\pi_1(B, b_0)$  operiert auf  $H^*(F)$  durch  $[\gamma] \mapsto T_{\gamma}$ .